

討論会講演論文*

焼結鉱の還元時(特に低温域)における挙動

(討-1) 還元過程における焼結鉱の強度と組織の関係

住友金属工業、中央技術研究所

工博○渡辺正次郎・理博 吉永 真弓

Relation between Strength of Sinter and Its Microstructure during Reduction.

Dr. Shojiro WATANABE and
Dr. Mayumi YOSHINAGA.

1. 緒 言

焼結鉱強度が還元時、特に低温域において著しい低下を示すことに関してはすでに多くの検討例がある。強度低下の著しい温度が $400^{\circ}\sim600^{\circ}\text{C}$ であり、COガス還元の場合の炭素析出が最も活発な温度域と一致しているため、析出炭素の影響を考慮する必要も生じ、還元強度低下の原因についてはまだ定説がない。したがつて今回はミクロ組織におけるカーボンの状態に特に留意しつつ、主として還元後焼結鉱の顕微鏡下観察により強度に与える影響を検討したので得られた結果を報告する。

2. 試 料

検討用いた試料は現場製造の焼結鉱であり、化学成分は、T. Fe 59.28, FeO 10.78, Fe_2O_3 72.77, CaO 6.49, SiO_2 5.77である。

3. ミクロ強度と組織

微視的単位における還元組織はミクロ強度に最も大きい影響をおよぼすはずであり、また焼結鉱の還元時崩壊粉化現象はかなりの細粉化を伴うので、まず粒状試料について還元をおこない各温度におけるミクロ強度と組織の関係、特に還元ガスが異なる場合における影響を検討した。還元実験は、豊型電気炉および32 mm φ石英反応管を使用し、還元ガスは H_2 100% (300 cc/min), CO 100% (500 cc/min), 還元時間は H_2 で 30 min, 60 min, CO で 60 min、でおこなつた。試料は 10 g (8~10 mesh) である。還元後試料についてコークス用ミクロ強度試験機による強度測定をおこなつた。管径 25 mm, 管の長さ 300 mm, 使用鋼球の直径は 8 mm で 12 個、回転数 25 rpm, 800 回転、試料重量は 2 g である。試験後強度指数は +20 mesh とし試験 2 回の平均をとつた。得られた強度と還元温度の関係を Fig. 1 に示した。各プロットにおける数字は還元率を示す。 H_2 還元の場合、 $600^{\circ}, 700^{\circ}\text{C}$ の値は還元時間 30 min, その他は 60 min の場合の値である。CO 還元の $500^{\circ}\sim600^{\circ}\text{C}$ においては試料少量の上炭素析出がはなはだしいので還元率の測定を行なつていないが、後述する塊状還元試験結果から見て、一応 Fig. 1 に示した H_2 と CO の各温度における還元率は比較的一致した値を示していると考えられる。N₂ 中で 60 min 加熱後の強度値も比較のために示

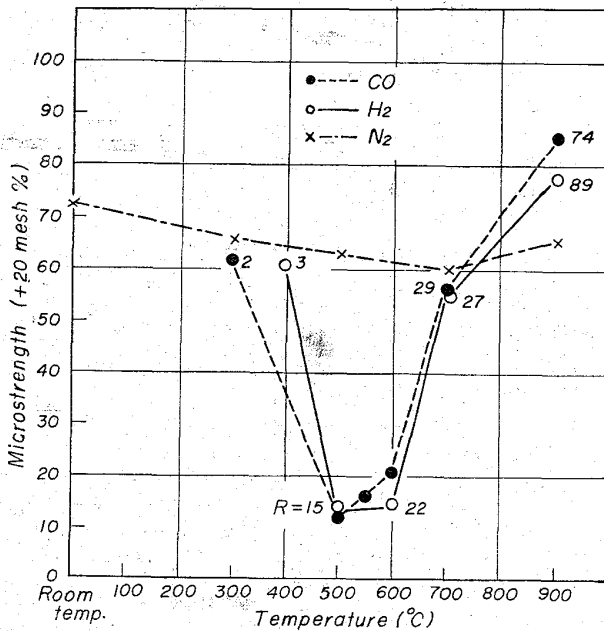


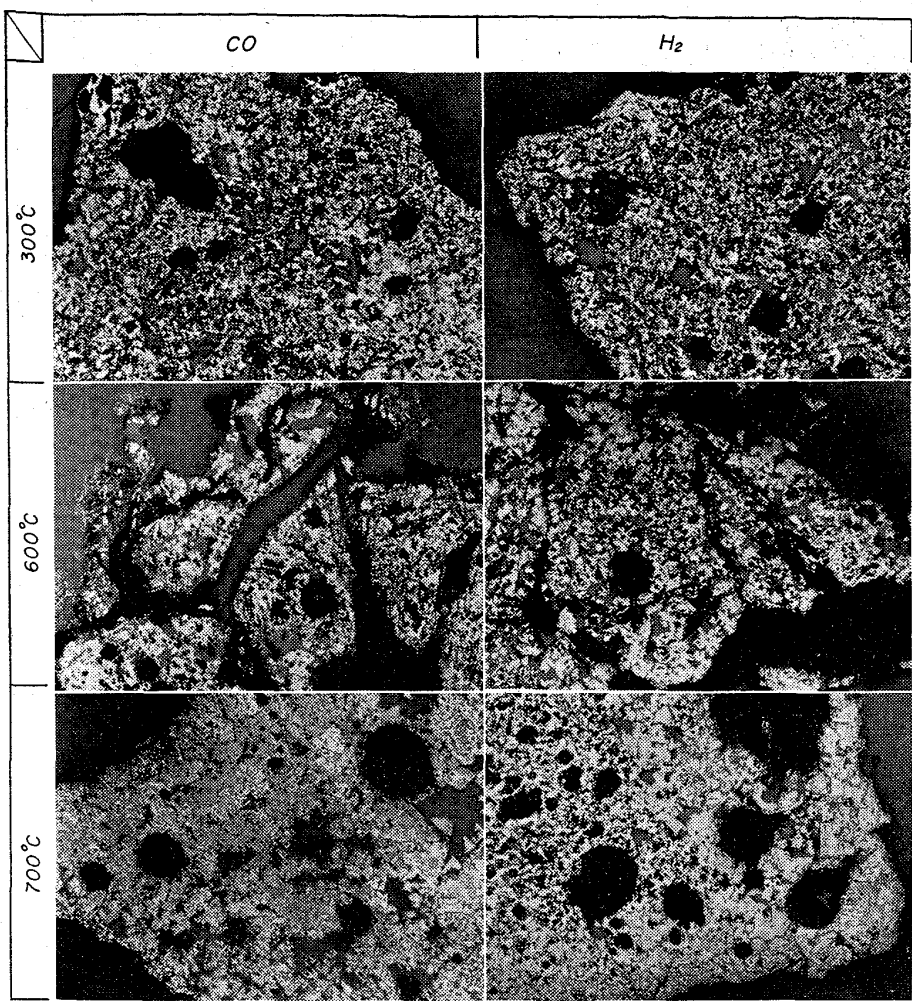
Fig. 1. Microstrength of sinters in various stages of reduction. R: % reduction.

した。ミクロ強度と還元温度の関係は H_2, CO で全く同一傾向を示し、強度は $500^{\circ}\sim600^{\circ}\text{C}$ で極端に低下する。Fig. 1 の各プロットに相当する還元後試料のミクロ組織を Photo. 1 に示す。石灰焼結鉱組織は鉱物相から見れば次のとく大別できる。

- (1) Hematite-Magnetite (主として Feed 中の酸化鉄鉱物の大粒が残存する場合)
- (2) Hematite-Magnetite-Amorphous slag-Melilite (半溶融もしくは溶融組織)
- (3) Hematite-Magnetite-Calcium ferrite(CaO rich part) の組織

本試料は塩基度 1.1 であり、(3) の鉱物組合せを示す部分は一般に少ないので Photo. 1 の組織写真は比較を容易にするためにすべて、(2) の鉱物組合せの部分について示したものである。300°, 400°C の場合は還元前焼結鉱組織とほとんど差異がないが、600°C ではヘマタイト→マグネタイト化が目立つており、ヘマタイトは消失するか多くは粒中心部にわずかに残存する。粒周辺部においては Wüstite が認められ結晶単位で topochemical に金属鉄化を開始している。一般にヘマタイト相の消失した粒では Photo. 1 に示すごとく多数のクラックの発生が認められる。ただ CO 還元の場合が H_2 に比してクラックの発生が多く、また析出炭素が粒の周辺部に沿つてしまはず多量に認められる。鏡下観察からはカーボンの沈積がクラックの奥深くまで達している場合は認められない。700°C 還元における組織は還元がかなり進行

* 討論会講演論文原稿受付日：昭和40年11月15日

Photo. 1. Microstructure of reduced sintered samples. $\times 100$ (1/2)

しているため金属鉄が粒周辺部に多く分布するが、中心部にはなまくらマタイトが相当量残存する場合が多く、 600°C の場合に比し急速還元のおこなわれたごとき組織を示す。これらの粒においてはクラックはほとんど見られない。ただ中心部にマタイトを残さない粒においては 600°C の場合と同様かなりのクラック発生が見られるが、このような粒は一般的に少ない。CO還元の場合の炭素析出もわずかである。 900°C においては金属鉄量がきわめて多くなり、しかもMetallic sinteringが認められる。したがつて強度は還元前試料の場合よりもむしろ高い値を示す。以上のごとき組織観察から $500^{\circ}\text{C} \sim 600^{\circ}\text{C}$ での強度の著しい低下は、 Fe_3O_4 stageにおけるクラックの発生に原因があると考えられる。CO還元の場合がクラックが多いがミクロ強度試験ではクラック以外の部分からの破壊もかなりあるものと考えられ、CO還元 H_2 還元とともに強度は似た値を示している。 H_2 、COの場合の強度差は後述の塊状還元試験後強度で明瞭な差が見出される。

4. 顕微鏡下における析出炭素

CO還元後試料表面に付着したカーボンのみをエポラック樹脂に埋込み、検鏡をおこなつて特性を把握した後、還元後焼結鉱ミクロ組織におけるカーボンの観察をおこなつた。カーボンは常に焼結鉱粒表面に付着し、表

面近くでクラック中を埋める場合はあつてもクラックに沿つて奥深くまで分布する場合は見出されない。カーボン中には常に微粒のMetallic Feが散点し、炭素析出に触媒として働いていることが推定される。試料表面のカーボンはWüstite結晶粒間、還元前マグнетイトの{111}に沿うミクロクラック等に侵入しているが、 500°C における還元においても極めて表面近くの部分に限られている。Photo. 2(a)は試料表面よりカーボンが内部に侵入する状況を示したものでCO 100%、 500°C における60 min還元後のものである。Photo. 2(b)はこのカーボンを電子顕微鏡で観察したものである。高炉使用レンガ中に見出される析出カーボン¹⁾と同様明瞭な糸状成長が認められる。したがつて炭素析出は試料表面を粉化させることはあつても、クラックに沿つて内部まで侵入し試料そのものを崩壊させるほどの力とはなつていないと考えられる。

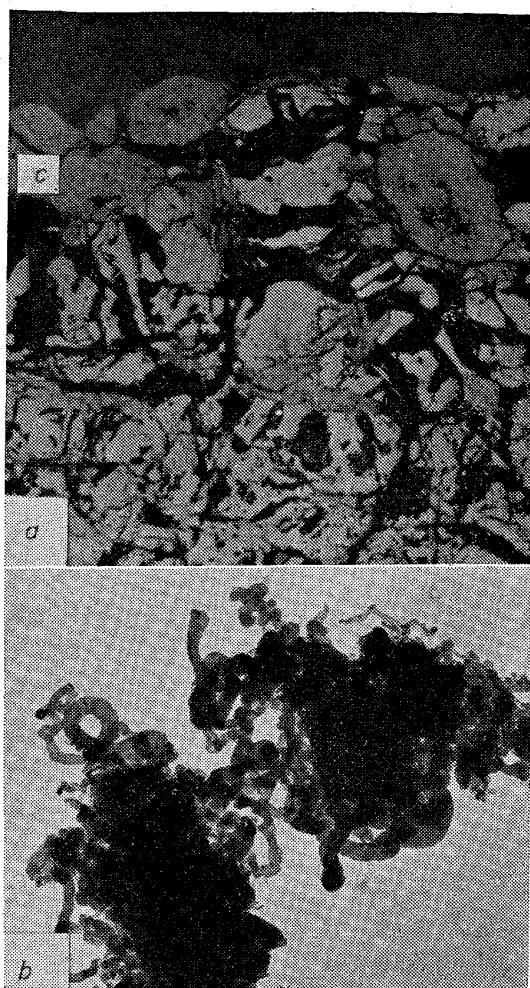
5. 塊状還元による崩壊現象

塊状試料について還元時の崩壊現象を検討するため学振法塊状還元装置を使用し、試料 300 g (18~20 mm) で還元実験をおこなつた。還元ガス組成は H_2 100%，

CO 100%，および $\text{CO}/\text{CO}_2 = 1\cdot0, 1\cdot5, 2\cdot0, 4\cdot0$ とし、流量はおののの 5 l/min とした。還元時間は 60 min であるが、 H_2 還元の $600, 700^{\circ}\text{C}$ は 30 min、 CO/CO_2 を変化させた場合は 120 min、還元温度は 400, 500, 550, 600, 700°C (CO/CO_2 変化実験は 500°C のみ) とした。還元後試料の+5 mm (+1 mm)%を示したのがFig. 2 および 3 である。 H_2 還元以外の場合については還元後試料中の金属鉄および析出カーボン量をTable 1 に示した。Fig. 2 より明らかなごとく、 H_2 還元、CO還元とともに 500°C 付近で崩壊が認められるが、CO還元の場合が特に著しい。この結果から見ると一見炭素析出が崩壊に大きな影響をおよぼしているごとくであるがFig. 3 より明らかなごとく、 CO/CO_2 を変化させてもほとんど+5 mm%は変化せず、さらに還元鉱で測った学振法回転強度+5 mm%は同一の値を示している。これらの事実と鏡下特性を総合すれば炭素析出は崩壊にはほとんど関与せず、試料表面の粉化をもたらす原因となつている。鏡下で認められるクラックは 500°C の場合が最も著しいが、 H_2 の場合よりCO還元後の試料においてクラックが多く、崩壊の原因是クラックの発生によると考えられる。

6. 荷重軟化試験

試験鍋で製造した種々の強度の焼結鉱について荷重 2



a) Microstructure showing deposition of carbon (c) in the margin of sinter specimen. ($\times 200$)
b) Electron micrograph of deposited carbon. ($\times 20,000$) (9/10)

Photo. 2. Deposited carbon in reduced sinter.

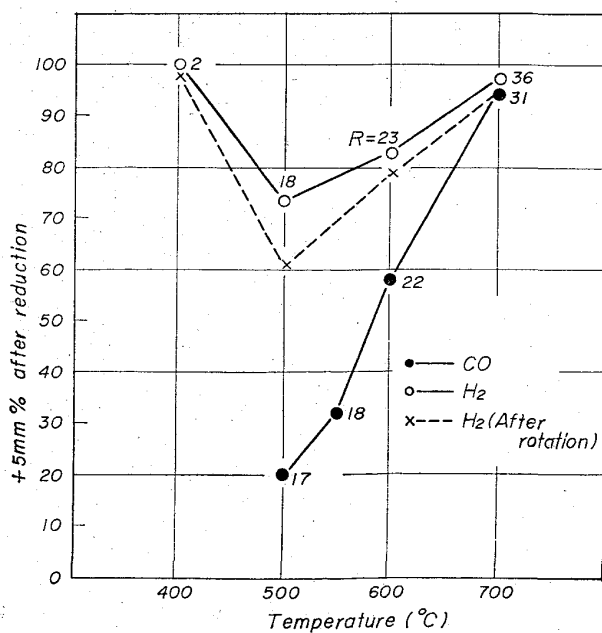


Fig. 2. +5 mm% after reduction. R: % reduction.

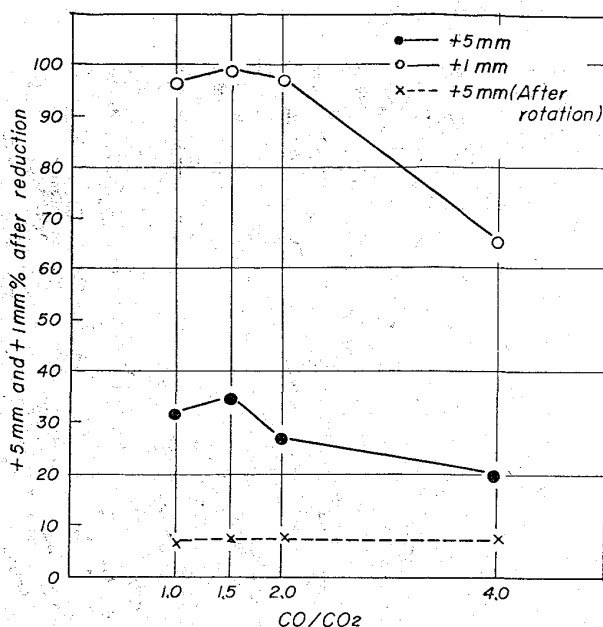


Fig. 3. Degradation of sinters reduced at 500°C for 2hr with gases of different ratio of CO to CO₂.

Table 1. Metallic iron and deposited carbon contents after reduction.

Reducing gas	Reducing temp. (°C)	M. Fe (%)	C (%)
CO 100%	500	5.11	6.27
CO 100%	550	5.40	9.26
CO 100%	600	7.01	7.45
CO 100%	700	15.23	3.95
CO/CO ₂ =1.0	500	0.14	0.04
CO/CO ₂ =1.5	500	0.07	0.06
CO/CO ₂ =2.0	500	0.36	0.90
CO/CO ₂ =4.0	500	2.01	8.10

kg/cm²で還元試験をおこなつた。装置²⁾はすでに報告したものを使用し、試料は10~15mm粒度500gである。常温より300°CまではN₂ 10l/min, 300°Cより1200°Cまでは還元ガス(CO 30%+N₂ 70%, 15l/min)を使用した。反応管内径は50mm, 試料層高は平均180mmである。試験結果をFig. 4に示した。各曲線に付記した数字は試験前試料の回転強度+10mm%である。強度の低い焼結鉱ほど低温域における崩壊が著しいことが明らかである。このことからすでに述べた500°C付近における焼結鉱の還元強度低下現象は成品焼結鉱強度によつて大きく左右されることがわかる。

7. 結 言

以上の検討結果からは、焼結鉱の低温域における還元強度は500~600°Cで著しく低下し最低値をとるが、ミクロ組織観察結果からはMagnetite stageにおける多数のクラック発生がこの強度低下の原因となつているものと考えられる。H₂還元とCO還元の場合では、後者でクラック発生量が多く、還元後崩壊量にもこれと矛盾しない結果が得られたが、CO還元の場合炭素析出は崩